

東大生研 正員 久保慶三郎
東大生研 正員 ○吉田裕

1. はじめに

鉄筋コンクリート床版や一方向に補強された板、さらには格子折構造等も巨視的に直交異方性板として解析される。本来、材料的直交異方性板はほとんど存在せず、大部分が構造的異方性板である。それ故に、各構造形態による差異は非常に大きく、これらを一様な微分方程式で論することは問題である。格子折構造やリブつき板等構造そのものとして解析することが可能である問題は、可能な限りその構造形態を正しく評価すべきであり、事実その方向に進んでいる。

鉄筋コンクリート床版や密に溝をついた板のような充奥板、また、板の塑性座屈理論においては、基礎微分方程式が有効に使われる。

ここで問題となるのは、材料の諸係数であり、特に剪断剛性の取扱い方である。

一般には、微分方程式の解が $X = H/\sqrt{D_x D_y}$ により左右されるために、Xの値の決め方の問題となる。また、塑性座屈理論においては、係数の決め方に種々の提案がなされている。

係数 $E_x, E_y, \nu_{xy}, \nu_{yx}, G$ のうち独立なものは4個であるが、ここでもう一つ剪断剛性Gを他の係数の関数として導入することを提案し、密に溝をつけた板によって、その妥当性を検討する。

2. 基礎微分方程式

提案の要旨を説明する。

$$D_x = E_x h^3 / 12(1 - \nu_{xy} \nu_{yx}), \quad D_y = E_y h^3 / 12(1 - \nu_{yx} \nu_{xy}), \quad D_{xy} = G h^3 / 6 \quad \text{とおこう。}$$

$$M_x = -\left(D_x \frac{\partial^2 w}{\partial x^2} + \nu_{xy} D_y \frac{\partial^2 w}{\partial y^2}\right), \quad M_y = -\left(D_y \frac{\partial^2 w}{\partial y^2} + \nu_{xy} D_x \frac{\partial^2 w}{\partial x^2}\right), \quad M_{xy} = D_{xy} \frac{\partial^2 w}{\partial x \partial y}$$

と表わされる。ここで、曲げモーメント和Mといて、次のような関係式を導入する。

$$M = \frac{(1 - \nu_{yx}) M_x + (1 - \nu_{xy}) M_y}{1 - \nu_{xy} \nu_{yx}} \quad \begin{cases} \text{これは, } \nu = \nu_{xy} = \nu_{yx} \\ \text{のとき } M = \frac{M_x + M_y}{1 + \nu} \end{cases}$$

$$M_x, M_y を代入して整理すれば \quad M = -\left(D_x \frac{\partial^2 w}{\partial x^2} + D_y \frac{\partial^2 w}{\partial y^2}\right)$$

となる。次に、剪断剛性Gに対して、次のような関係式を導入する。

$$G = \frac{(1 - \nu_{yx}) E_x + (1 - \nu_{xy}) E_y}{4(1 - \nu_{xy} \nu_{yx})} \quad (1) \quad \begin{cases} \text{これは, } E = E_x = E_y \\ \nu = \nu_{xy} = \nu_{yx} \\ \text{のとき } G = \frac{E}{2(1 + \nu)} \end{cases}$$

$$\text{そうすると, } D_{xy} \text{ は} \quad D_{xy} = \frac{(1 - \nu_{yx}) D_x + (1 - \nu_{xy}) D_y}{2}$$

と表わされるから

$$\text{基礎微分方程式は} \quad D_x \frac{\partial^2 w}{\partial x^2} + (D_x + D_y) \frac{\partial^2 w}{\partial x^2 \partial y^2} + D_y \frac{\partial^2 w}{\partial y^2} = f(x, y)$$

となる。これは、また、Mによつて

$$\frac{\partial^2 M}{\partial x^2} + \frac{\partial^2 M}{\partial y^2} = -f(x, y)$$

と表わすことができる。

3. 計算式および境界条件

先に等方性板の計算式を提案⁽¹⁾したが、これを拡張し、次の2つの関係式によって直交異方性板を解析することが可能である。

$$P_{ij} = \frac{-M_{i-1,j} + 2M_{ij} - M_{i+1,j}}{\lambda_x} \times \lambda_y + \frac{-M_{i,j-1} + 2M_{ij} - M_{i,j+1}}{\lambda_y} \times \lambda_x$$

$$\lambda_x \lambda_y \left\{ \frac{2}{3} M_{ij} + \frac{1}{12} (M_{i-1,j} + M_{i+1,j} + M_{i,j-1} + M_{i,j+1}) \right\}$$

$$= \frac{-\Delta_{i-1,j} + 2\Delta_{ij} - \Delta_{i+1,j}}{\lambda_x} \times \lambda_y \times D_x + \frac{-\Delta_{i,j-1} + 2\Delta_{ij} - \Delta_{i,j+1}}{\lambda_y} \times \lambda_x \times D_y$$

但し $M = \frac{(1-\nu_{yx}) M_x + (1-\nu_{xy}) M_y}{1 - \nu_{xy} \nu_{yx}}$

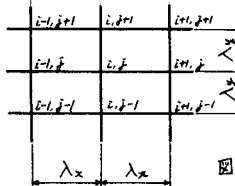


図-1

ここで境界条件が問題となるか、上記の2つの関係式によつて問題を解析するためには、次のような境界条件を用ひよ。すなわち、 M_x, M_y, M_{xy} 等のモーメントに関するでは、

そのためには微分方程式を階差式に展開し、与えられた条件を考慮する。

次に V_x, V_y について考える。
 $V_x = Q_x - \frac{\partial M_{xy}}{\partial y} = -D_x \frac{\partial^3 w}{\partial x^3} - (\nu_{xy} D_y + 2 D_{xy}) \frac{\partial^3 w}{\partial x \partial y^2}$
 であるから、 D_{xy} に先の関係式を代入して、
 $V_x = - \left[D_x \frac{\partial^3 w}{\partial x^3} + \{ D_y + (1-\nu_{yx}) D_x \} \frac{\partial^3 w}{\partial x \partial y^2} \right]$
 を得る。これはまた $M = - (D_x \frac{\partial^3 w}{\partial x^2} + D_y \frac{\partial^3 w}{\partial y^2})$ であることより

$$V_x = \frac{\partial M}{\partial x} - (1-\nu_{yx}) D_x \frac{\partial^3 w}{\partial x \partial y^2}$$

と表わされる。

$$V_y = \frac{\partial M}{\partial y} - (1-\nu_{xy}) D_y \frac{\partial^3 w}{\partial x^2 \partial y}$$

この式の右辺を、モーメント和およびひずみに関する階差式に展開すると、 V の条件として M と Δ の関係式を得ることができ。このようにモーメントおよび剪断力に関する境界条件を使いわけることによつて、先の2つの式による解析が可能になる。

また、等方性の板の場合には $V_x = \frac{\partial M}{\partial x} - (1-\nu) D \frac{\partial^3 w}{\partial x \partial y^2}, V_y = \frac{\partial M}{\partial y} - (1-\nu) D \frac{\partial^3 w}{\partial x^2 \partial y}$ となる。

4. 溝つき板による係数の実測

厚さ 10mm のアルミニウム板に図-2 のように密に溝をつけた試験体を作製し、同じ材料から溝の方向とそれに直交する方向の

幅 3cm 、長さ 35cm の試験片を取出し各係数を測定した。主に曲げによる歪を測定し表1. に示す結果を得た。表2. は曲げ試験による係数測定

の精度を知るために、同じ寸法の溝のない、すなわち、等方性の試験片によつて、曲げと引張試験の両方から、弾性係数およびボアソン比を測定し結果を示したものである。

表1 ($\times 10^6 \text{ kg/cm}^2$)

D_x	D_y	$\nu_{yx} D_x$	$\nu_{xy} D_y$	E_x	E_y	ν_{xy}	ν_{yx}
0.04702	0.02509	0.007841	0.007809	0.5350	0.2854	0.3113	0.1667

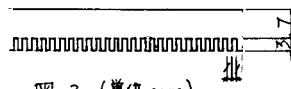


図-2 (単位 mm)

表2

$E (\times 10^6 \text{ kg/cm}^2)$		ν	
曲げ試験による測定値	引張試験による測定値	曲げ試験による測定値	引張試験による測定値
0.714	0.713	0.302	0.298
0.716	0.721	0.304	0.311

$$\rho = 10\text{mm} \text{としたときの係数}$$

5. 係数 γ について

試験片の都合で、次のような方法で係数 γ の測定を行つた。すなまち、曲げ試験に用ひた幅3cm、長さ35cmの試験片を振り、20cmの間隔で振り角を測定し、振りモーメント M_T と振り率 γ との関係を求める。その結果から、係数 γ を決めるのであるが、測定法、特に試験体端部の拘束条件等に問題が残り、測定結果の評価の仕方はもづかしい。こゝでは、一応 Saint Venant の振り理論による矩形棒の振りの公式⁽²⁾

$$M_T = \frac{1}{3} \cdot G \cdot \gamma \cdot a^3 \cdot b \cdot f\left(\frac{b}{a}\right) \quad \begin{cases} \frac{b}{a} = 3.0 \text{ のとき} \\ f\left(\frac{b}{a}\right) = 0.78995 \end{cases}$$

によって評価することにした。そのため、測定結果の評価にこの公式を適用するか否かの妥当性を調べておく必要があるので、溝のない等方性矩形棒と同じ条件で振り、その結果を比較した。

測定結果は図-3に示す通りである。この結果に基づいて公式から γ を逆算し、弾性係数およびボアソン比から γ を逆算し、弾性係数および γ を表-3である。また、文献に図-4に示すような鋼製試験片による測定結果が示されているので、その値を参考のため表示し、関係式(1)による値と比較したもののが表-4である。

表-3 ($\times 10^6 \text{ lb/in}^2$)

	振り試験から逆算した γ		$\frac{(1-\nu_{xy})E_x + (1-\nu_{yz})E_y}{4(1-\nu_{xy}\nu_{yz})}$
	試験片1	試験片2	
長さ方向に溝のある試験片	0.110	0.113	
幅方向に溝のある試験片	0.112	0.114	0.169
溝のない等方性試験片	0.267	0.260	0.275

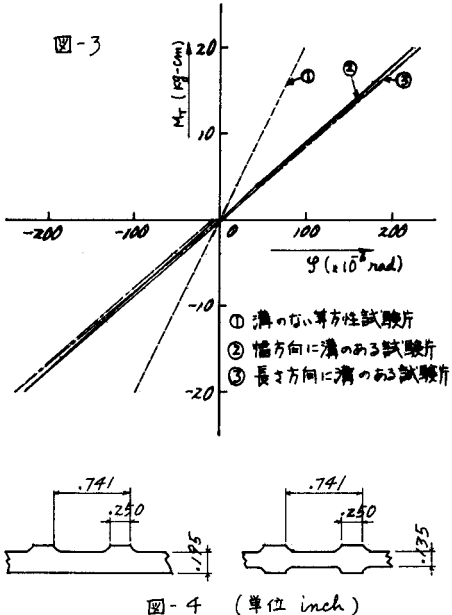


図-4 (単位 inch)

	ELASTIC MODULI AND POISSON'S RATIOS (lb.in)					$\frac{(1-\nu_{xy})E_x + (1-\nu_{yz})E_y + P_z^3}{4(1-\nu_{xy}\nu_{yz})}$
	$E_x h^3$	$E_y h^3$	ν_{xy}	ν_{yz}	$G z y h^3$	
Plate grooved on one side	375000	296000	0.28	0.22	107000	134700
Plate grooved on both sides	252000	126500	0.44	0.22	77800	74000

表-4

6. 計算例

表-3に示すように、等方性材の振り試験の結果から、二の振り試験の結果が正しくあるものであることを分るより関係式(1)によつて γ を定義することは、この場合は、剪断剛性を実際よりも非常に大きな値として考えてよいことになる。

そこで、計算例として、係数 γ の値が非常に大きく影響するような例題と、この値がそれほど影響しないと思われる例題の二通りを述べる。すなまち、図-5に示すような矩形板の隅を単純支持し、

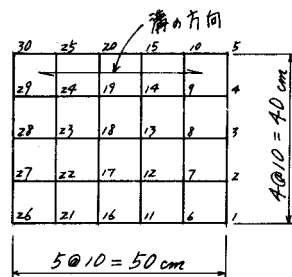


図-5

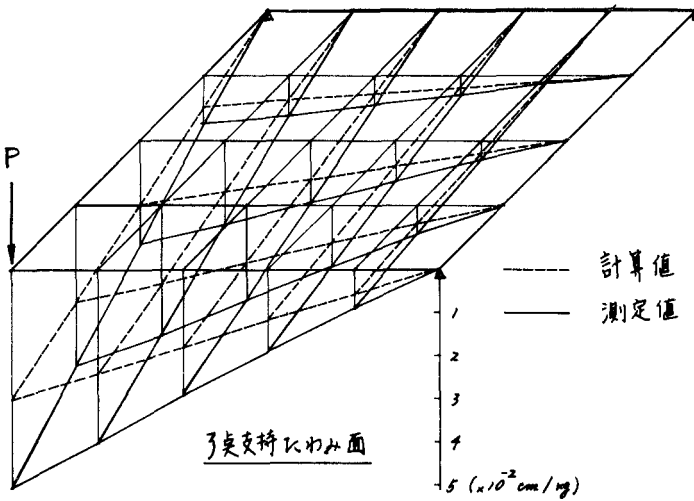
残る隅に集中荷重を載荷したものと、半隅を単純支持し、残りの隅に集中荷重を載荷したものとの2通りである。計算と並行して、同じ条件で実験を行い測定結果と比較検討する。

なお、試験体の断面は図-2に示したものと同じである。

7. 考察

計算結果と実験結果と比較

1つ、4点支持のように接続の影響が小さい場合には、係数 η の評価に問題があるにもかかわらず、このような計算法が非常に精度よく適用できることが分る。3点支持で残りの1隅に集中荷重を作用させる場合のように係数 η の影響が100%大きいくなるような場合には、やはりその評価の誤差がはつきり表わ



れている。計算値と測定値の比が関係式(1)によて求めた η の値と実測による η の値との比には「等しい」とがこれを如実に物語っている。

また、表-4の結果その他から、関係式(1)は材料の2方向の剛性の差が比較的小さく、断面本中立面に関して対称であるような場合に適用範囲が大きくなるのではないかと考えている。

このような解析法によれば、非常に複雑な直交異方性板の問題を簡明に解くことができる。関係式(1)が適用できる範囲においては、たわみに対するものは勿論、曲げモーメントに対するものも精度の高い解を得ることができるので、鉄筋コンクリート床版等の解析に応用すべく研究を続けている。

	7.37	11.99	11.51	6.79	
8.06	13.82	17.42	16.19	11.58	5.64
11.92	17.24	20.85	18.86	13.90	8.18
8.06	13.82	17.42	16.19	11.58	5.64
	7.37	11.99	11.51	6.79	

4点支持たわみ計算値 ($\times 10^{-4}$ cm)

	7.65	11.45	11.60	6.80	
7.95	13.20	16.75	15.40	11.15	5.25
12.30	16.70	20.05	17.60	13.05	7.35
8.25	13.30	16.65	15.35	10.80	5.25
	7.20	11.30	11.35	6.95	

4点支持たわみ測定値 ($\times 10^{-4}$ cm)

■は載荷点、□は支点

参考文献

- (1) 久保、吉田 案支承を持ち集中荷重を受けるはりおよび板の解析 土木学会論文集 第130号
- (2) 倉西正嗣 応用弹性学 大立出版
- (3) W.H. Hoopermann 他 A Study of Orthogonally Stiffened Plates
Journal of Appl. Mech. Sept. '56